

## 弾性波動伝播系のフィルタ特性について

京都大学 工学部 正会員 丹羽義次  
 熊本大学 工学部 正会員 大津政康  
 京都大学 工学部 学生員。中田善晴

## 1. はじめに

弾性波動の伝播現象に関する研究の主な関心は、入力としての入射波動や、系の出力としての応答に関するものがほとんどであり、その間に介在する伝播系の特性の解明に関するものはあまり見られない。本報告は、そのような波動伝播系の特性を線形システム論に基づいて周波数領域で考察することにより、フィルター特性として実験的に抽出したものである。なお、周波数領域での系の伝達関数を「フィルター特性」という言葉で表わしている。

## 2. 波動の伝達経路

波動の伝達経路を線形システムとして模式的に表わせば、Fig. 1 のようになる。線形システムの理論によれば、次のようないくつかの関係が得られる。

$$g(t) = f(t) * w_{t1}(t) * \lambda(t) * w_{t2}(t) * w_u(u) \quad (1)$$

ここで、\* は合成積を意味している。また、 Fourier 变換により周波数領域で考えれば、式(1)は

$$G(f) = F(f) W_{t1}(f) S(f) W_{t2}(f) W_u(f) \quad (2)$$

となる。ここで、 $G, W, S, F$ などの大文字はそれらの小文字の Fourier 变換である。フィルター特性を抽出しようとする要因の特性を  $N(f)$ 、その要因を含まない伝播系の特性を  $S_0(f)$  とする、 $S(f)$  は、 $S(f) = S_0(f) N(f)$  となる。したがって、要因を含まない伝播系の出力を  $G_0(f)$  とすれば、(2)式より  $G(f) = F(f) W_{t1}(f) S_0(f) W_{t2}(f) W_u(f)$  という関係が得られ、 $G(f)/G_0(f) = S(f)/S_0(f) = N(f)$  を考えると、対象としている要因のフィルター特性が抽出されるとことになる。

## 3. 実験結果および考察

ファンクションジェネレーターにより発生させたステップパルスを Fig. 1 に示すような経路を経たのち記録した。本実験では、空洞を有する系のフィルター特性を考慮するため、供試体側面による反射波や表面波の影響がないと思われる継波、初期部分だけを対象とした。実験に使用した供試体があまり大きくなかったため、波動の初期部分のデータ個数が非常に少なくなることが考えられるため、MEM を用いてスペクトル解析を行なった。

一辺  $105\text{ mm}$  のモルタル立方体に中  $10\text{ mm}$  の空洞を開いた供試体 (Fig. 2(a)) によるスペクトルを Fig. 2(b) に示す。横軸は、供試体の継波波数と空洞半径の積によって無次元化してある。弾性

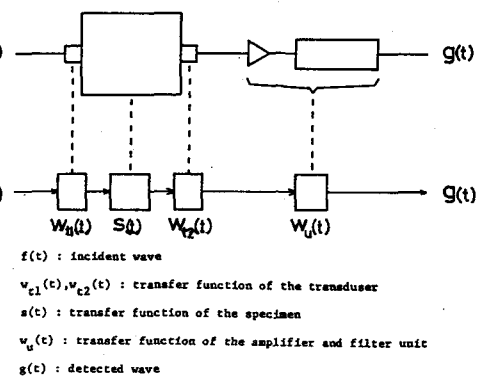
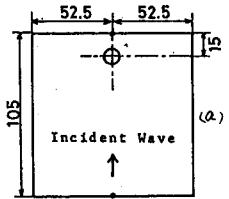


Fig. 1 波動の伝達経路

論によれば、変位のポテンシャルを $\psi$ とすると2次元弾性問題で  
の変位は、 $u_r = \frac{\partial \psi}{\partial r} + (\sqrt{r}) \frac{\partial \psi}{\partial \theta}$ となる。また、單一空洞による縦波入射波の擾乱により、変位ポテンシャル $\psi$ 、 $\psi$ は次のようく表わせる。

$$\left. \begin{aligned} \psi &= \frac{a_0}{R_0} \{ \psi_0 E_n J_n(\alpha r) + A_n H_n^{(1)}(\alpha r) \} \cos n\theta e^{-int} \\ \psi &= \frac{a_0}{R_0} B_n H_n^{(1)}(\beta r) \sin n\theta e^{-int} \end{aligned} \right\} \quad (3)$$



ここで、 $A_n, B_n$ は境界条件により求まる定数、 $J_n$ はベッセル関数、 $H_n^{(1)}$ はハンケル関数、 $\alpha, \beta$ はそれぞれ縦波横波の波数、 $E_n = 1 (n=0), 2 (n \geq 1)$ である。数値解析によって求めた変位の結果をFig. 2(c)に示す。(b), (c)を比較すると、(b)において横軸1.4付近にピーコークがあることを除けば、(b), (c)ともに1.2付近に谷、2.4付近にピーコークがあるなど比較的よく一致していることがわかる。これは、複雑な解析によらずとも実験的にこのようなモデルの共振特性を得ることが可能であることを示している。また、同様のモルタル立方体の中心に中10 mm、中25 mmの空洞を開いた供試体によるスペクトルをFig. 3に示す。中10 mm、25 mmともに120 kHzおよび200 kHz付近にピーコークを示し、空洞による共振現象が現われていることがわかる。さらに、中25 mmの空洞によるスペクトルの方がピーコークがより明確となっていることから、空洞では直徑が大きくなるにつれて、共振現象も強く現われる考え方られる。

次に、供試体を2次元モデルに近づけるため、メタアクリル酸樹脂の板に、Fig. 2(a)と同様に中10 mmの空洞を開いた供試体によるスペクトルをFig. 4に示す。Fig. 2(b), (c)と比較するとその特性に大きな相異があることがわかる。このことから、板の場合は2次元モデルに近似されるよりは板の厚み方向に反射波が生じ、その影響が特性に強く現われたと考えられる。この板による特性は、先に述べた  $G(t)/G_0(t) = N(t)$  では除去されてしまう、線形では書いていないことがわかる。これは、板波としての考慮が別に必要なことを示しているのであろう。

### 参考文献

1. 日野幹雄、"スペクトル解析"、朝倉書店、1977

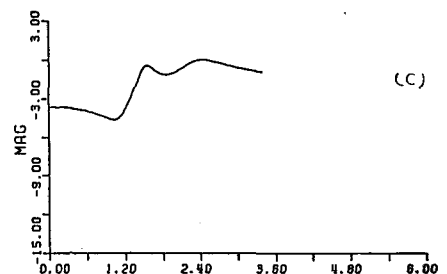
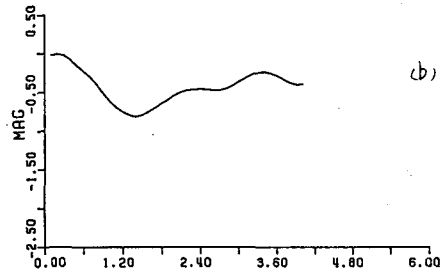


Fig. 2 供試体面図 単一空洞のフィルタ-特性

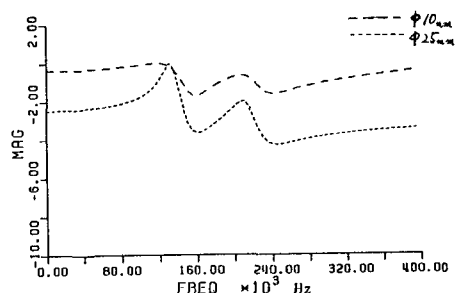


Fig. 3 単一空洞のフィルタ-特性(中10mm, 中25mm)

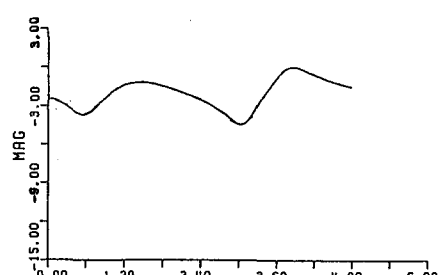


Fig. 4 単一空洞のフィルタ-特性(板材)